

Penisilinle Epilepsi Oluşturulan Sığanlarda Gyrus Dentatus Granüler Hücre Tabakasındaki Hacim Değişiklikleri ^[*]

**Determination of Volume Changes in Dentate Gyrus Granulare Cell Layer
in Penicillin-Induced Epileptic Rats**

Ilgaz AKDOĞAN, Esat ADIGÜZEL, Pınar AKYER

Epilepsi 2003;9(2):67-72

Amaç: Deneysel olarak penisilinle epilepsi oluşturulan sığanlarda gyrus dentatus hacim değişiklikleri araştırıldı.

Çalışma Planı: Çalışmada 12 adet, 16-20 haftalık Sprague-Dawley cinsi dişi sığan (220-350 gr) iki gruba ayrıldı. Kontrol grubuna intrakortikal serum fizyolojik, diğer gruba aynı yolla penisilin-G (500 IU) verildi. Bir hafta sonra çıkarılan beyinler dondurmalı mikrotomda donduruldu ve 150 µm kalınlıkta kesildi. Elde edilen histolojik kesitler hematoksiyen-eosin ile boyandı. Kesitlerdeki gyrus dentatus granüler hücre tabakasının mikroskop görüntüsü monitöre aktarıldı ve hacmi stereolojik bir yöntem olan Cavalieri prensibine göre hesaplandı.

Bulgular: Serum fizyolojik verilen sığanlara göre, penisilinle epilepsi oluşturulan sığanların gyrus dentatus hacimleri daha büyük bulunmasına rağmen, aradaki fark istatistiksel olarak anlamlı değildi (Mann-Whitney U-testi, $p>0.05$).

Sonuç: Deneysel epileptik nöbetlerin beyinin değişik bölgelerindeki etkilerini araştırmada nöron sayısı ile birlikte hacim değişikliklerinin değerlendirilmesi objektif sonuçlara ulaşmada katkı sağlayacaktır.

Anahtar Sözcükler: Dentate gyrus/sitoloji; hastalık modelleri, hayvan; elektroensefalografi; epilepsi/kimyasal yolla oluşturulan; hipokampus/fizyoloji/ilaç etkileri; mikroskopi/yöntem; nöron/ilaç etkileri; penisilin G; sığan.

Objectives: We investigated the changes in rat dentate gyrus volume in a penicillin-induced epilepsy model.

Study Design: The study included 12 adult female Sprague-Dawley rats (220-350 gr) of 16 to 20 weeks. The animals were assigned to receive either intracortical saline solution or penicillin G (500 IU). A week later, the brains were removed and frozen in a cryostat. All tissues were sectioned at 150 µm and stained with hematoxylen and eosin. The sections were visualized under light microscope and cell layer images of the dentate gyrus granulare were transferred to a monitor. The volumes were quantified stereologically using the Cavalieri's principle.

Results: The mean dentate gyrus volume of penicillin administered rats was greater than that of the control rats. However, this increase was not statistically significant (Mann-Whitney U-test, $p>0.05$).

Conclusion: The effects of experimental epileptic seizure models on different areas of the brain may be more objectively evaluated both by the number of neurons and quantification of volume changes.

Key Words: Dentate gyrus/cytology; disease models, animal; electroencephalography; epilepsy/chemically induced; hippocampus/physiology/drug effects; microscopy/methods; neurons/drug effects; penicillin G; rats.

Dergiye geliş tarihi: 28 Şubat 2003 Düzelme isteği: 1 Mayıs 2003 Yayın için kabul tarihi: 3 Haziran 2003

Pamukkale Üniversitesi Tıp Fakültesi Anatomi Anabilim Dalı

*1. Ulusal Sinir Bilimleri Kongresi'nde poster olarak sunulmuştur (16-20 Mart 2002, Eskişehir).

İletişim adresi: Dr. Ilgaz Akdoğan. Pamukkale Üniversitesi Tıp Fakültesi, Anatomi Anabilim Dalı, 20070 Kırıkkale, Denizli.
Tel: 0258 - 213 40 30 / 1388 Faks: 0258 - 213 28 74 e-posta: iakdogan@pamukkale.edu.tr

Gyrus dentatus, *formatio hippocampalis*'i oluşturan yapılardandır.^[1] *Formatio hippocampalis*'i oluşturan yapılardan entorhinal korteks ile afferent, hipokampus CA₃ alt bölgesi ile efferent bağlantılar vardır.^[1] Hipokampus ile anatomi komşuluğuna karşılık histolojik açıdan farklılık gösterir. Hipokampus esas olarak piramidal nöronlardan olusurken, *gyrus dentatus'un* asla yapısına granüler hücreler olusur.^[1] *Gyrus dentatus* ve hipokampus histolojik olarak üç tabakadan olmaktadır. Üç tabaka yapısından dolayı, bu bölgelerin hiperekstabilitet gösterdiği ve epileptik nöbetlerde kolaylıkla uyarılabilen ileri sürülmüştür.^[2] Böylece, zayıf bir stimülasyon bile epileptiform aktiviteye neden olmaktadır. Bu yüzden epilepside ve deneysel epilepsi modellerinde *formatio hippocampalis* ile ilgili çok sayıda çalışma vardır.^[3,4]

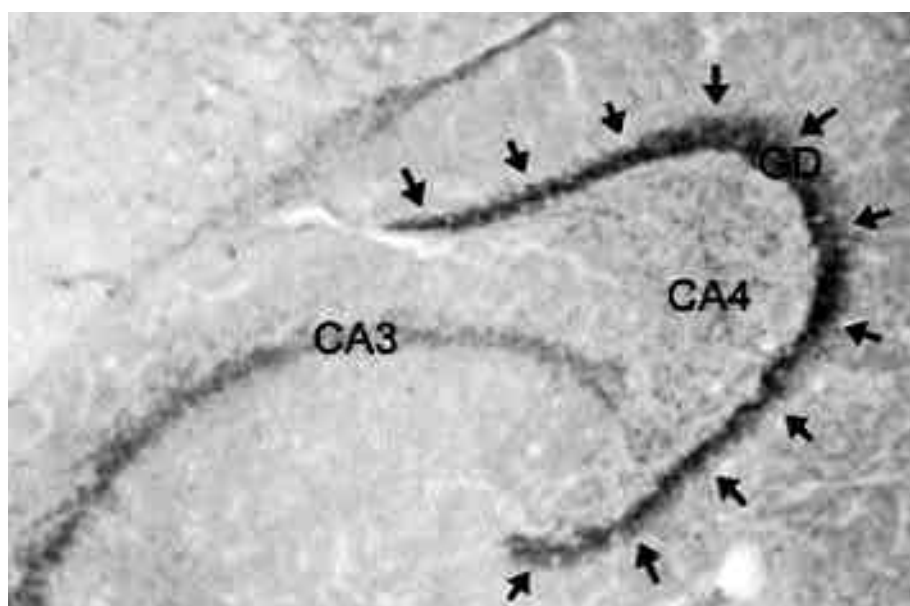
Günümüzde epilepsinin ve epileptik nöbetlerin fizyopatolojisini daha iyi anlaşılmaları için deneysel epilepsi modelleri geliştirilmüştür.^[5] Çalışmamızda, deneysel epilepsi oluşturmak için kullandığımız penisilin, epileptojenik bir odak oluşturmaktan ve fokal baflayıcı yayalarak jeneralize tipe dönüflen epileptik nöbetler ortaya çıkarmaktadır.^[6]

Daha önce yaptığımız bir çalışmada, penisilin ile deneysel epilepsi oluşturan sancılarda *gyrus dentatus* nöron sayıları hesaplanmıştır.^[7]

Ancak, penisilin epilepsi modelinin *gyrus dentatus* granüler hücre tabakası hacmini nasıl etkilediği bilinmiyordu. Bu çalışmada, penisilin ile meydana getirilen deneysel epilepsi sonucu oluşan nöbetlerin *gyrus dentatus* granüler tabaka hacmine olan etkisinin araştırılması amaçlandı. Hacimler, objektif ve etkin bir stereolojik yöntem olan Cavalieri prensibine göre hesaplandı.^[8,9]

GEREC VE YÖNTEM

Çalışmada, Pamukkale Üniversitesi Deney Hayvanları Laboratuvarından elde edilen 12 adet, 16-20 haftalık, Sprague-Dawley cinsi diffus çan kullanıldı. Çalışma düzeneği ile ilgili olarak Etik Kurul onayının alınmasının ardından sancılar standart laboratuvar koşullarında (sıcaklık 22 °C, 12 saatlik aydınlatma-karanlık siklus) beslendi ve hayvanlara yapılan tüm iflemler hijyenik kurallara uygun olarak, yarı steril flamlarda gerçekleştirildi. Sancılar rastgele olarak kontrol (n=6) ve penisilin (n=6) gruplarına ayrıldı. Hayvanlar, intraperitoneal uygulanan xylazine (10 mg/kg, Rhompun®, Bayer, Türkiye) ve ketamin (90 mg/kg, Ketalar®, Parker Davis, Türkiye) ile uyutulduktan sonra, stereotaksi aletine yerleştirildi. Kafa derisi vertikal olarak kesildikten sonra bregma noktası bulundu. Kontrol grubuna intrakortikal olarak, bregmanın sağından, 2 mm posterior, 2 mm lateral ve 2



FİKL 1

Sancıda *gyrus dentatus* granüler tabakası'nın mikroskop görüntüsü (H-E x 4).
GD: *Gyrus dentatus*; CA₃-CA₄: Hipokampus alt bölgeleri.

mm derine uyacak koordinatlarda 0.1 ml serum fizyolojik (%0.9 NaCl) ve penisilin grubuna aynı yolla ve aynı koordinatlarda penisilin-G (500 IU, 0.1 ml) verildi. Her iki grubun elektriksel defalarlar EEG aleti ile kaydedildi. Bipolar EEG kayıtları, genel anestezi altında, iki yüzeyel gümüş elektrođu kafa derisinde sağ parietal ve mid-oksipital bölgeye ve bir referans (toprak) elektrođu hayvanın kuyruğuna konarak elde edildi (kayıt duyarlılığı= $20 \mu\text{V/mm}$; kayıt kağıt hızı 15 mm/sn.; TC=0.3 Hz, HF=70 Hz). Her iki grup için, yedi günlük bekleme süresi sonunda çkarılan beyinler dondurulmuş mikrotomda (Leica CM3050) -50°C'de donduruldu. Dondurulmuş mikrotom -15°C'ye ayarlandı ve beyinlerden 150 μm kalınlıkta yatay kesitler elde edildi. Kesitler, hematoksiilen-eosin ile boyandı.

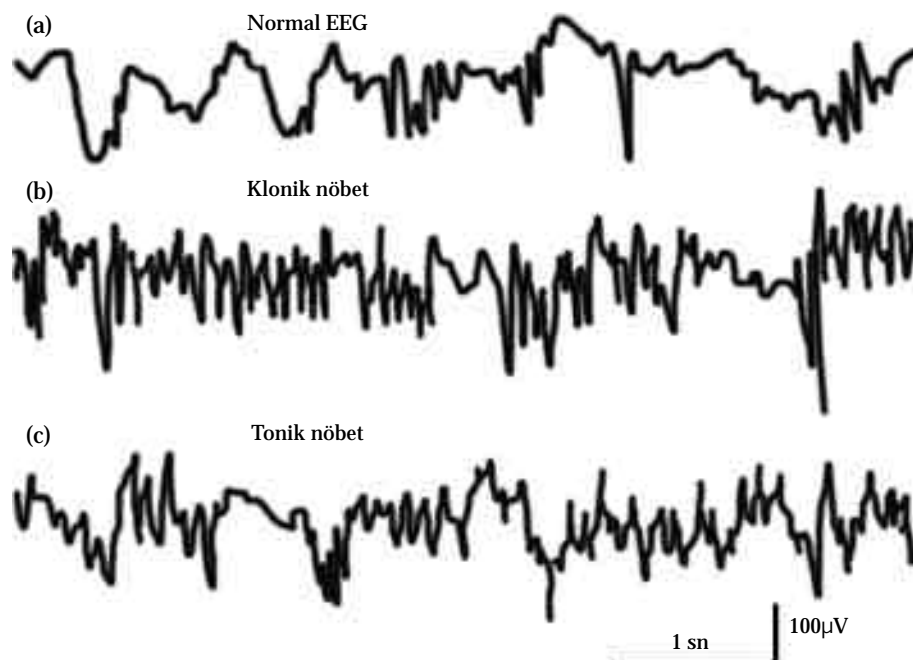
Cavalieri prensibi ve hacim hesaplamaları

Kesitler ilk mikroskopuna (Nikon Eclipse E 600, N.A.=1.25) yerleştirildi ve gyrus dentatus granüler hücre tabakası $\times 4$ büyütmedeki mikroskop görüntüsü bir video kamera (Hitachi OSP Color Video Camera VK-C22OE) kullanılarak monitöre (Sony Trinitron Color Video Monitor PVM-14N1MDE) aktarıldı (fıekil 1). Her kesit için gyrus dentatus granüler tabaka-

sındaki izdüftümü, uygun büyülükteki parflomen kağıdına çizildi. Bu çizimler üzerine, noktalar arasında uzaklığı önceden belirlenen "noktalı sayımlı cetveli"^[10,11] rastgele konularak gyrus dentatusun granüler tabakası üzerinde düzenlenen nokta sayıları belirlendi. Bu iflem her kesitteki çizim için üç kez tekrarlandı ve üç sayımanın ortalaması alınındı. Böylece, her beyinden alınan kesitlerden elde edilen toplam nokta sayısı (Q) belirlendi. Kesitler arasındaki uzaklıkların belirlenmesi için her bir kesitin kalınlığı ölçüldü.^[12] Daha sonra, kesitlerden elde edilen toplam nokta sayısı (Q), noktalı sayımlı cetvelinde bir noktanın temsil ettiği alan ve kesitler arasındaki uzaklıklar çarpılarak, gyrus dentatus granüler tabaka hacmi hesaplandı.

Cavalieri prensibine göre hacim hesaplamaları için aşağıdaki formül kullanıldı:^[8,9,13]

- $V = (Q) \times (a) \times (h)$
- $V = \text{Hacim (gyrus dentatus toplam hacmi)}$
- $Q = \text{Noktalı sayımlı cetvelinde sayılan toplam nokta sayısı}$
- $a = \text{Alan (Noktalı sayımlı cetvelindeki her noktanın temsil ettiği alan) } (0.09 \text{ mm}^2)$
- $h = \text{Yükseklik veya kalınlık (iki kesit arasındaki uzaklık)}$



FİKL 2

(a) Intrakortikal serum fizyolojik verilen sçanlardan ve (b, c) penisilin ile epilepsi oluşturan sçanlardan elde edilen EEG kayıt örnekleri.

TABLO 1

<ntrakortikal serum fizyolojik verilen (kontrol) ve penisilin ile deneysel epilepsi oluflturulan s>çanlar>n s>çanlar>n sol gyrus dentatus granüler tabaka hacimleri ve kullan>lan parametreler

S>çan	Kontrol grubu						Penisilin grubu					
	1	2	3	4	5	6	1	2	3	4	5	6
Q (Say>lan nokta say>s>)	201	92	163	229	178	189	229	109	169	231	167	104
a (Noktal> say>m cetvelinde bir noktan>n temsil ettiği alan, mm ²)	0.09	0.09	0.09	0.09	0.09	0.09	0.09	0.09	0.09	0.09	0.09	0.09
V (Hacim, mm ³)	2.17	1.99	1.76	2.88	2.24	2.38	2.27	2.35	1.97	2.91	2.1	2.71

BULGULAR

<ntrakortikal serum fizyolojik verilen kontrol grubundaki s>çanlar>n EEG kay>talar>nnda elektriksel aktivitede bir de>g>iftliklik gözlenmedi (fiekil 2a). <ntrakortikal penisilin verilen s>çanlarda ise enjeksiyondan 2-3 dakika sonra nöbetler gözlendi (fiekil 2b, c).

Serum fizyolojik verilen s>çanlar>n sol gyrus dentatus hacmine (ort. hacim=2.24±0.38 mm³) göre penisilin epilepsi modeli oluflturulan s>çanlar>n sol gyrus dentatus hacmi (ort. hacim=2.38±0.36 mm³) (Tablo 1) daha büyük görünmesine rağmen, aradaki fark istatistiksel olarak anlaml> degildi (Mann-Whitney U testi, p>0.05).

TARTI>MA

Gyrus dentatus ve hipokampus, filogenetik olarak “archiocortex”in esas k>sm>n>n oluflturular. Histolojik olarak, diğer korteks yap>lalar> alt> tabakal> olmas>n>a karfl>n, bu korteks bölgesi üç tabakal>d>r.^[1] Üç tabakal> yap>s>ndan dolayı bu bölgenin hipereksitibilite gösterdiği ve epileptik nöbetlerde kolay>kla uyar>labildiği belirtilmiftir.^[2] Epileptik nöbetler, hipokampussta geri dönüflü olmayan nöron kayb>na neden olmaktadır.^[14-16] Geri dönüflü olmayan hücre kayb>, CA₁ ve CA₃ piramidal hücrelerinde yayg>nd>r. Ancak, gyrus dentatusun granüler hücreleri ve CA₂ piramidal hücreleri, bu hücre kayb>na rölatif olarak dayan>k>d>r.^[16,17] Buna uyumlu olarak, daha önce yapt>ğ>m>z çal>flma>da, penisilin ile oluflturulan deneysel epilepsi sonucu gyrus dentatus granüler hücre say>s>n>a önemli bir de>g>iftliklik bulunmam>ft>r.^[7] Ancak, penisilin epilepsi modelinde, gyrus dentatus taki de>g>iftlikliklerin tan>m>lanmas>n>a nöron say>lar>n>n yan> s>ra hacim de>g>iftliklikleri-

nin de bilinmesi önemlidir. Bu çal>flmalar> göz önüne alarak, çal>flmam>zda penisilin epilepsi modeli sonucu oluflan nöbetlerin gyrus dentatus hacim de>g>iftlikliklerine etkisini arafl>rmay> amaçlad>k.

Epilepside gyrus dentatus granüler hücre yay>lmas> (dispersion) ve mossy liflerin filizlenmesinin (mossy fibre sprouting) gözlentiği bildirilmiftir.^[18] Granüler hücre yay>lmas>, genifllemifl bir granüler tabaka (stratum granulosum) ile karakterizedir.^[18] Bu olay>n mekanizmas> tam olarak ayd>nlat>lamam>ft>r. Bir hipoteze göre, nöron göçü sonucu anormal düzenlenme ve granüler hücrelerin ektopik pozisyonna gelmesi bu genifllemede rol oynamaktad>r.^[18] Çal>flmam>zda, penisilin verilen s>çanlar>n gyrus dentatus hacminde bir art>fl gözlenmiftir. Bu sonuç, granüler hücre yay>lmas> nedenile ortaya ç>km>fl olabilir. Ancak, penisilin ve kontrol gruflar> aras>ndaki fark>l>k istatistiksel olarak anlaml> bulunmam>ft>r.

Bizim çal>flmam>zda, deneysel epilepsi oluflturmak için penisilin kullan>lm>ft>r. Penisilin kimyasal olarak konvulsiv bir ajand>r.^[5,19] Parsiyel nöbetlerin oluflturulmas>n>a, topikal olarak kullan>lan penisilinden yararlan>labilir. Kortikal yüzeye uygulanan penisilin ile akut parsiyel (akut fokal) epilepsidekine benzer EEG’ler kaydedilebilir.^[19-21] Merkezi sinir sisteminde GABA inhibitör, glutamat eksitatör özellikleki nörotransmitterlerdir. GABA arac>l> inhibisyonun zayıflamas>, epileptik nöbetin yay>lmas>n>a önemli bir etkendir.^[22] Fokal epilepsi, beyin korteksindeki azalm>fl GABA arac>l> inhibisyon ve glutamata ba>gl> eksitasyon etkisiyle oluflur.^[22] Penisiline ba>gl> epileptik nöbet, korteks teki GABA inhibisyonunun azalmas> ve gluta-

mat salgısun artmasıyla olmaktadır.^[17,19,22-24] Ayrca, penisilinin, GABA etkisini bloke ettiği, non-spesifik bir GABA antagonist olabileceği ve GABAergic etkiyi zayıflatarak konvulsiv etki oluşturabileceğini düşünlülmektedir.^[25,26] Penisilinin oluşturduğu epileptiform aktivite, fokal baflayıp yayarak jeneralize olmasa, flekliyle klinikteki grand mal epilepsiye benzer bir tablo oluşturmaktadır.^[6]

Çalışmamızda, penisilin ile deneyel epilepsi oluşturan sçanlarda gyrus dentatus granüler hücre tabakasında anlamlı bir hacim artışı bulunmamıştır. Penisilin grubu sçanlarda hacimde artı görülmese, ancak bunun istatistiksel olarak anlamlı bulunmaması penisilin ile oluşturulan epileptik nöbetlerin tipine bağlı olabilir. Ayrca, bu sonuç, gyrus dentatusun histolojik yapısından dolayı epileptik nöbetlerde kolay uyarılabilir mesine rağmen, granüler hücrelerin geri dönüflü olmayan hücre kaybına diğer formatio hippocampalis bölgelerine göre daha dayanıklı olması ile açıklanabilir. Deneyel epileptik nöbetlerin beynin değişik bölgedeindeki etkilerinin araştırılmasıyla nöron sayımları ile hacim değişikliklerinin birlikte ele alınması objektif değerlendirmelerin yapılmamasına yardımcı olacaktır.

Tefekkür

Makalenin yazarlar olarak, yaptıkların katkılarından dolayı Doç. Dr. Türker fahiner ve Doç. Dr. Atilla Oğuzhanoglu'na (Pamukkale Üniversitesi Tıp Fakültesi Nöroloji Anabilim Dalı, Denizli) tefekkür ediyoruz.

KAYNAKLAR

- Berry M, Bannister LH, Standing SM. Nervous system. In: Williams PL, editor. Gray's anatomy. 38th ed. New York: Churchill Livingstone; 1995. p. 901-1399.
- Guyton AC. The central nervous system. In: Basic neuroscience anatomy and physiology. 2nd ed. Philadelphia: W.B. Saunders; 1991. p. 262-3.
- Mouritze Dam A. Hippocampal neuron loss in epilepsy and after experimental seizures. *Acta Neurol Scand* 1982;66:601-42.
- Mello LE, Cavalheiro EA, Tan AM, Kupfer WR, Pretorius JK, Babb TL, et al. Circuit mechanisms of seizures in the pilocarpine model of chronic epilepsy: cell loss and mossy fiber sprouting. *Epilepsia* 1993; 34:985-95.
- Biziere K, Chambon JP. Animal models of epilepsy and experimental seizures. *Rev Neurol* 1987;143: 329-40.
- Sagratella S, Niglio T, Scotti de Carolis A. An investigation on the mechanism of anticonvulsant action of ketamine and phencyclidine on convulsions due to cortical application of penicillin in rabbits. *Pharmacol Res Commun* 1985;17:773-86.
- Adıgüzel E, Akdoğan I, Düzcan SE, Tufan C. Effect of penicillin induced epilepsy seizure on granulere cell layer of the dentate gyrus in rat: a stereological study. *Neuroscience Research Communications* 2002;31:101-9.
- Gundersen HJ, Bendtsen TF, Korbo L, Marcussen N, Møller A, Nielsen K, et al. Some new, simple and efficient stereological methods and their use in pathological research and diagnosis. *APMIS* 1988; 96:379-94.
- Gundersen HJ, Jensen EB. The efficiency of systematic sampling in stereology and its prediction. *J Microsc* 1987;147 (Pt 3):229-63.
- Roberts N, Cruz-Orive LM, Reid NM, Brodie DA, Bourne M, Edwards RH. Unbiased estimation of human body composition by the Cavalieri method using magnetic resonance imaging. *J Microsc* 1993; 171 (Pt 3):239-53.
- Fahin B, Aslan H, Ünal B, Canan S, Bilgiç S, Kaplan S, et al. Brain volumes of the lamb, rat and bird do not show hemispheric asymmetry: a stereological study. *Image Anal Stereol* 2001;20:9-13.
- Korkmaz A, Tümkaya L. Estimation of the section thickness and optical disector height with a simple calibration method. *J Microsc* 1997;187:104-9.
- Howard CV, Reed MG (editors). Estimation of reference volume using the Cavalieri method. In: Unbiased stereology- three-dimensional measurement in microscopy. 1st ed. Oxford: BIOS Scientific Publishers; 1998. p. 39-54.
- Dam M, Bolwig T, Hertz M, Bajorec J, Lomax P, Dam AM. Does seizure activity produce Purkinje cell loss? *Epilepsia* 1984;25:747-51.
- Esiri MM, Oppenheimer DR (editors). Epilepsy. In: Diagnostic neuropathology. Oxford: Blackwell Scientific Publications; 1989. p. 280-5.
- Sloviter RS. Decreased hippocampal inhibition and a selective loss of interneurons in experimental epilepsy. *Science* 1987;235:73-6.
- Schwartzkroin PA, McIntyre DC. Limbic anatomy and physiology. In: Pedley TA, editor. Epilepsy: a comprehensive textbook. 1st ed. Philadelphia: Lippincott Raven Publishers; 1997. p. 323-37.
- Proper EA, Hoogland G, Van Veelen CW, Grann PN. Morphological changes in the human epileptogenic hippocampus. *Neuroscience Research Communications* 2001;29:129-46.
- Fisher RS. Animal models of the epilepsies. *Brain Res Brain Res Rev* 1989;14:245-78.
- Purpura DP, Penry JK, Tower DB, Woodbury DM, Walter RD (editors). Experimental models of epilepsy. A manual for the laboratory worker. 1st ed. New York: Raven Press; 1972.
- Schwartzkroin PA, Mody I. Acute seizures models (intact animals). In: Pedley TA, editor. Epilepsy: a comprehensive textbook. 1st ed. Philadelphia: Lippincott Raven Publishers; 1997. p. 397-403.
- Bağrıç F, Gökcé FM, Marangoz C. Depressive effect of nicardipine on penicillin-induced epileptiform activity in rats. *Neuroscience Research Communications*

- 1999;24:149-54.
- 23. Domann R, Uhlig S, Dorn T, Witte OW. Participation of interneurons in penicillin-induced epileptic discharges. *Exp Brain Res* 1991;83:683-6.
 - 24. Pedley TA, Meldrum BS (editors). Cellular mechanism of focal epileptogenesis. In: Recent advances in epilepsy. Number two. 1st ed. Edinburgh: Churchill Livingstone; 1985. p. 1-63.
 - 25. Treiman DM. GABAergic mechanisms in epilepsy. *Epilepsia* 2001;42 Suppl 3:8-12.
 - 26. Engel J. Seizures and epilepsy. Philadelphia: F.A. Davis Co.; 1989.